

**DSP 试卷综合**  
(汇编了 97 级、98 级、00 级、04 级等试卷试题)

**概念题**

试判断如下说法的正确性，并简述理由。

1.若一线性时不变离散时间系统的极点全部位于  $z$  平面的单位圆内，则该系统是稳定系统。

**错误**，因为非因果信号的收敛域为  $z < R$ ，所以有可能收敛域不包含单位圆。

2.利用离散傅里叶变换分析连续信号频谱，其频率分辨率只与截取时间长度有关，与窗的形状没有关系。**错误**，窗函数的频谱主瓣宽度影响频率分辨率。

3.线性时不变相位系统可由系统幅度唯一确定。**错误**，相位特性还与零点有关。

4. $N$  点的实有限长序列  $x[n]$  的 DTFT 为  $X(e^{j\omega})$ ，DFT 为  $X[k]$ ，若  $\text{Im}\{X[k]\} = 0$ ， $k = 0, 1, \dots, N-1$ ，则必有  $\text{Im}\{X(e^{j\omega})\} = 0$ 。**错误**。仅采样点为实数  $\text{Im}\{X(e^{j\omega})\} = 0$ 。

5.因果最小相位系统的逆系统仍为因果最小相位系统。**正确**。

6.任何系统都可由零时刻的单位冲激响应完全表征。**错误**，仅 LTI 系统。

7.滤波器设计本质上是用一个关于  $z$  的有理函数在单位圆特性来逼近所有要求的系统频率特性。**正确**。

8.对于实数 FIR 系统来说，若  $z_0 = re^{j\theta}$  为系统零点，则必有  $z_0^* = re^{-j\theta}$  也为系统的零点。**正确**。

9.按频率抽取的基 2FFT 比按时间抽取的基 2FFT 的计算量大。**错误**，两者计算量相同。

10.线性时不变离散系统可实现频谱的搬移。**错误**，不可实现频谱的搬移。

11.系统  $T$  为两个  $T_1$  和  $T_2$  的离散时间系统的级联，则

(a) 若  $T_1$  和  $T_2$  均为线性，则  $T$  也为线性；(正确)

(b) 若  $T_1$  和  $T_2$  均为时不变的，则  $T$  也为时不变的；(正确)

(c) 若  $T_1$  和  $T_2$  均为因果的，则  $T$  也为因果的；

(d) 若  $T_1$  和  $T_2$  均为稳定的，则  $T$  也为稳定的。

12.若一 LTI 系统的所有极点均在单位圆内，则该系统一定稳定。(错误)

13.升、降采样系统均为 LTI 系统。(错误)

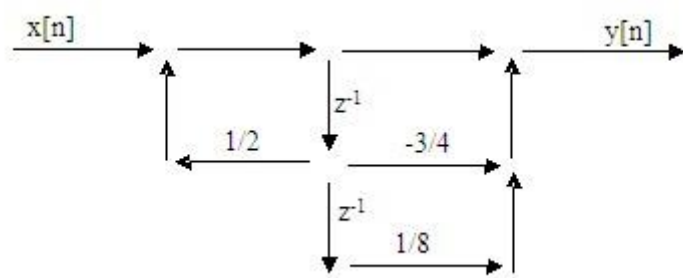
14.可以设计一 LTI 系统实现对输入信号的频谱搬移。(错误)

**简答题**

1.已知  $T[x[n]] = x[n] + 3u[n-1]$ ，问该系统是否稳定，因果，线性，时不变，无记忆？

2.压缩器（减采样）是 LTI 系统吗？为什么？

3. 一因果有限长序列  $x[n]$  的 Fourier 变换在  $\omega_k = \frac{2\pi k}{N}$ ,  $k = 0, 1, \dots, N-1$  的采样值为  $X[k]$ , 在什么条件下可以由  $X[k]$  重构出  $x[n]$  的 Fourier 变换  $X(e^{j\omega})$  (只要求写出结论)。
4. 任一模拟信号经 C/D 变换后, 再通过 D/C 后得到的信号是否在原采样点处无失真? 为什么?
5. FIR 线性相位系统是否在  $z = -1$  处必存在零点? 为什么?
6. 试判断下图所示滤波器是 FIR 滤波器还是 IIR 滤波器, 并说明理由。



7. 试问对于一个低通滤波器有哪些技术指标? 在同样的指标下, IIR 滤波器实现和 FIR 滤波器实现比较, 哪一个阶次高?
8.  $X[k]$  为序列  $x[n]$  的  $N$  点 DFT, 若  $x[n] = -x[N-1-n]$ , 试问  $X[0] = ?$

如果  $N$  为偶数, 且  $x[n] = -x[N-1-n]$ , 试问  $X\left[\frac{N}{2}\right] = ?$

9. 用 DFT 分析时域连续信号  $x_a(t)$  的频谱, 其步骤是: 首先对  $x_a(t)$  采样得到离散序列  $\{x[n], n = 0, 1, \dots, M-1\}$ , 然后求  $x[n]$  的 DFT 变换。当采用基-2 FFT 算法完成 DFT 时, 要求的 FFT 点数  $N$  是  $2^r$ , 如果  $N > M$ , 则要对序列  $x[n]$  补 0, 问对序列补 0 后, FFT 处理的结果是否能提高频率分辨率? 并说明理由。

## 卷积

1. 已知 LTI 系统的单位冲激响应  $h[n]$  为  $h[n] = \begin{cases} 1, & 0 \leq n \leq 6 \\ 0, & \text{otherwise} \end{cases}$ , 输入序列为

$$x[n] = \begin{cases} a, & 0 \leq n \leq 4 \\ 0, & \text{otherwise} \end{cases}, \text{ 求系统输出 } y[n].$$

2. 已知信号  $x[n] = \begin{cases} \frac{1}{3}n, 0 \leq n \leq 6 \\ 0, otherwise \end{cases}$  和  $h[n] = \begin{cases} n, -2 \leq n \leq 2 \\ 0, otherwise \end{cases}$

(a) 试画出  $x[n]$  和  $h[n]$  的图形;

(b) 求出  $x[n]$  和  $h[n]$  的卷积。

3. 设  $x[n]$  时宽为 6, 在  $0 \leq n \leq 5$  时,  $x[n] = \{1, 1, 1, 1, 1, 1\}$ ,  $y[n]$  时宽为 3, 在  $0 \leq n \leq 2$  时,  $y[n] = \{1, 2, 3\}$

(1) 求  $x[n]$  与  $y[n]$  的线卷积;

(2) 求  $x[n]$  与  $y[n]$  的 6 点循环卷积 (圆卷积)。

4. 给定  $x_1[n] = \begin{cases} 1, 0 \leq n \leq 5 \\ 0, otherwise \end{cases}$ ,  $x_2[n] = \begin{cases} 1, 0 \leq n \leq 3 \\ 0, otherwise \end{cases}$

(1) 试求  $x_1[n]$  和  $x_2[n]$  的线卷积;

(2) 试求  $x_1[n]$  和  $x_2[n]$  的 6 点循环卷积 (圆卷积)。

解:  $x_1[n] = \begin{cases} 1, 0 \leq n \leq 5 \\ 0, otherwise \end{cases}$ ,  $x_2[n] = \begin{cases} 1, 0 \leq n \leq 3 \\ 0, otherwise \end{cases}$

$$y[n] = x_1[n] * x_2[n] = \begin{cases} 0, n < 0, n > 8 \\ n+1, 0 \leq n < 3 \\ 4, 3 \leq n < 5 \\ 9-n, 5 \leq n \leq 8 \end{cases}$$

$$y[n] = \{1, 2, 3, 4, 4, 3, 2, 1\}$$

$$y[n] = x_1[n] \otimes x_2[n] = \sum_{m=0}^{N-1} x_1[m] x_2[((n-m))_N] R_N(n)$$

$$= \sum_{m=0}^5 x_1[m] x_2[((n-m))_6] R_6(n)$$

$$y[n] = \{4, 4, 4, 4, 4, 4\}$$

1. 已知某系统的频率响应为  $H(e^{j\omega}) = \begin{cases} 1, 0 \leq |\omega| < 0.3\pi \\ 0, 0.3\pi \leq |\omega| \leq \pi \end{cases}$ ，系统输入信号为

$$x[n] = 2 \cos\left(\frac{1}{4}\pi n\right) + 3 \cos\left(\frac{1}{2}\pi n\right) + 5 \cos\left(\frac{3}{4}\pi n\right), \text{ 试确定系统输出 } y[n].$$

2. 设一线性时不变系统的频率响应为  $H(e^{j\omega}) = \begin{cases} e^{j\pi}, 0 < |\omega| < \frac{7\pi}{10} \\ 0, otherwise \end{cases}$ ,

若系统输入是  $x[n] = \frac{1}{2}e^{j\frac{\pi}{5}n} + \frac{1}{3}e^{-j\frac{2\pi}{5}n} + \frac{1}{4}e^{j\frac{4\pi}{5}n}$ ，试问输出  $y[n] = ?$

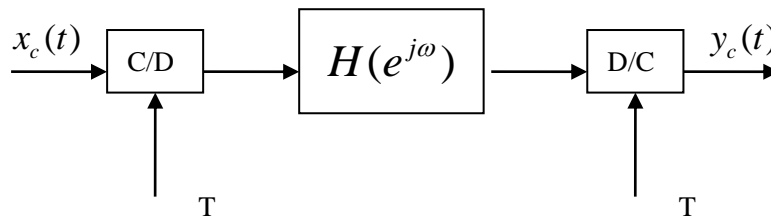
3. 设一线性时不变系统的频率响应为  $H(e^{j\omega}) = \begin{cases} 1, \frac{\pi}{10} \leq |\omega| \leq \frac{7\pi}{10} \\ 0, otherwise \end{cases}$ ,

若系统输入是  $x[n] = 0.8e^{j\frac{2\pi}{5}n} + 0.3e^{j\frac{4\pi}{5}n} - 0.9e^{-j\frac{2\pi}{5}n} + 0.5$ ，试问输出  $y[n] = ?$

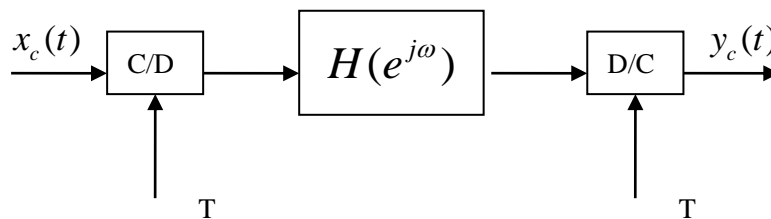
4. 如下系统，已知输入的模拟信号是频率为 250Hz, 450Hz, 1kHz, 2.75kHz, 4.05kHz 的正

弦信号的组合， $f_s = \frac{1}{T} = 1.5\text{kHz}$ ， $H(e^{j\omega}) = \begin{cases} 1, |\omega| \leq 0.5\pi \\ 0, 0.5\pi < |\omega| \leq \pi \end{cases}$ ，输出信号也是正弦信号

的组合。试问输出有哪些频率的正弦信号存在？



5. 如下图所示系统



其中：  $x_c(t) = 2\cos(2\pi t) + 3\cos\left(\frac{13}{3}\pi t\right) + 4\cos\left(\frac{31}{5}\pi t\right)$

$$H(e^{j\omega}) = \begin{cases} 1, 0 \leq |\omega| \leq \frac{\pi}{4} \\ 0, \frac{\pi}{4} < |\omega| \leq \pi \end{cases}, \quad T = 0.5s \quad \text{求输出 } y_c(t)。$$

解：  $x_c(t) = 2\cos(2\pi t) + 3\cos\left(\frac{13}{3}\pi t\right) + 4\cos\left(\frac{31}{5}\pi t\right)$

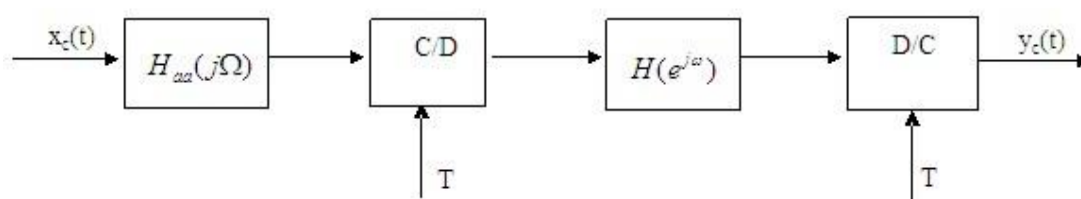
$$X_c(j\Omega) = \pi \left[ 2\delta(\Omega - 2\pi) + 2\delta(\Omega + 2\pi) + 3\delta\left(\Omega - \frac{13}{3}\pi\right) + 3\delta\left(\Omega + \frac{13}{3}\pi\right) + 4\delta\left(\Omega - \frac{31}{5}\pi\right) + 4\delta\left(\Omega + \frac{31}{5}\pi\right) \right]$$

$$T = 0.5s, \omega_s = 2\pi f_s = \frac{2\pi}{T} = 4\pi$$

$$Y(e^{j\omega}) = H(e^{j\omega})X(e^{j\omega}) = \frac{3\pi}{T} \left[ \delta\left(\omega - \frac{\pi}{6}\right) + \delta\left(\omega + \frac{\pi}{6}\right) \right]$$

所以  $y_c(t) = 3\cos\left(\frac{\pi}{3}t\right)$

6.对如下系统



其中  $f_s = \frac{1}{T} = 20$ ,  $H_{aa}(j\Omega) = \begin{cases} 1, |\Omega| < 20 \times 2\pi \\ 0, \text{otherwise} \end{cases}$ ,  $H(e^{j\omega}) = \begin{cases} 1, |\omega| < \frac{1.9}{2}\pi \\ 0, \frac{1.9}{2}\pi \leq |\omega| \leq \pi \end{cases}$

假设输入的模拟信号  $x_c(t) = 7\sin(45\pi t) + 5\sin(35\pi t) + 2\sin(25\pi t) + 7\sin(15\pi t)$

试求输出  $y_c(t) = ?$

7.考虑一 LTI 系统，其频率响应为  $H(e^{j\omega}) = \begin{cases} -j, 0 < \omega < \pi \\ j, -\pi < \omega < 0 \end{cases}$ ，若输入为  $x[n] = \cos\left(\frac{\pi n}{2}\right)$ ，

对全部的  $n$ 。求对全部  $n$  的输出  $y[n]$ 。

解：输入信号  $x[n]$  相应的频域表达式为： $X(e^{j\omega}) = \frac{1}{2} \left[ \delta\left(\omega - \frac{\pi}{2}\right) + \delta\left(\omega + \frac{\pi}{2}\right) \right]$

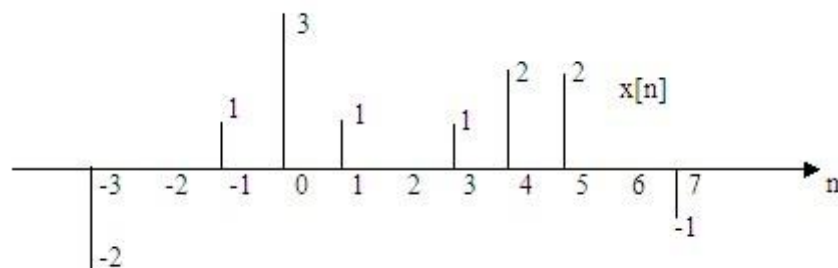
时域卷积对应于频域的相乘： $Y(e^{j\omega}) = H(e^{j\omega})X(e^{j\omega}) = \frac{j}{2} \left[ \delta\left(\omega - \frac{\pi}{2}\right) - \delta\left(\omega + \frac{\pi}{2}\right) \right]$

进行 IDTFT 变换，得到输出的表达式： $y[n] = \sin\left(\frac{\pi n}{2}\right)$

## DTFT

1. 若  $X(e^{j\omega}) = \frac{1}{1 - ae^{j\omega}}$ ,  $-1 < a < 0$ , 试画出 (a)  $|X(e^{j\omega})|$ ; (b)  $\angle X(e^{j\omega})$ 。

2. 已知  $X(e^{j\omega})$  是  $x[n]$  的 DTFT, 不需明确求出  $X(e^{j\omega})$ 。



则 (1)  $X(e^{j\omega})|_{\omega=0} = ?$  (2)  $\int_{-\pi}^{\pi} X(e^{j\omega}) d\omega = ?$  (3) 求出 Fourier 变换为  $\text{Re}\{X(e^{j\omega})\}$  的信号。

## z 变换

1. 试求出  $x[n] = \frac{1}{2}(n^2 + n)\left(\frac{1}{3}\right)^{n-1} u[n-1]$  的 z 变换。

2. 求序列  $x_a[n] = a^{|n|}$ ,  $0 < |a| < 1$  的 z 变换及其收敛域, 并画出零极点图。(以闭式表示)

解：根据 z 变换公式：

$$X_a(z) = \sum_{n=-\infty}^{\infty} a^{|n|} z^{-n} = \sum_{n=-\infty}^{-1} a^{-n} z^{-n} + \sum_{n=0}^{\infty} a^n z^{-n} = \sum_{n=1}^{\infty} (az)^n + \frac{1}{1 - az^{-1}} = \frac{az}{1 - az} + \frac{1}{1 - az^{-1}}$$

$$|a| < 1, \quad |a| < |z| < \frac{1}{|a|}.$$

3. 已知序列  $x[n]$  的 Fourier 变换存在, 且它的  $z$  变换为  $X(z) = \frac{3}{1 - \frac{10}{3}z^{-1} + z^{-2}}$ , 确定  $x[n]$ 。

4. 已知  $X(z)$  为  $x[n] = (0.4)^n u[n]$  的  $z$  变换。

确定 (1)  $X(z^2)$  的  $z$  反变换; (2)  $(1 - z^{-1})X(z^2)$  的  $z$  反变换。

5. 求  $z$  变换的反变换  $X(z) = \frac{1 - \frac{1}{2}z^{-1}}{1 + \frac{3}{4}z^{-1} + \frac{1}{8}z^{-2}}$ ,  $|z| > \frac{1}{2}$ 。

解:  $|z| > \frac{1}{2}$ , 显然该系统为因果系统:

$$X(z) = \frac{1 - \frac{1}{2}z^{-1}}{1 + \frac{3}{4}z^{-1} + \frac{1}{8}z^{-2}} = \frac{-3}{1 + \frac{1}{4}z^{-1}} + \frac{4}{1 + \frac{1}{2}z^{-1}}$$

$$\text{所以有: } x[n] = \left[ -3 \left( -\frac{1}{4} \right)^n + 4 \left( -\frac{1}{2} \right)^n \right] \cdot u[n]$$

6. 一因果 LTI 系统有冲激响应  $h[n]$ , 其  $z$  变换是  $H(z) = \frac{1 + z^{-1}}{(1 - 0.5z^{-1})(1 + 0.25z^{-1})}$

(1)  $H(z)$  的收敛域? 系统稳定吗? 为什么?

(2) 求系统冲激响应  $h[n]$ 。

(3) 画出该系统直接 II 型结构框图。

(4) 假设某输入  $x[n]$  输出为  $y[n] = -\frac{1}{3} \left( -\frac{1}{4} \right)^n u[n] - \frac{4}{3} \cdot 2^{n-1} u[n-1]$ , 试给出  $x[n]$  的  $z$

变换  $X(z)$ 。

7. 在地震信号的测量中, 接收信号  $y[n]$  包含原始信号  $x[n]$  和两个回波信号:

$$y[n] = x[n] + \frac{1}{2}x[n-1] + \frac{1}{4}x[n-2]$$

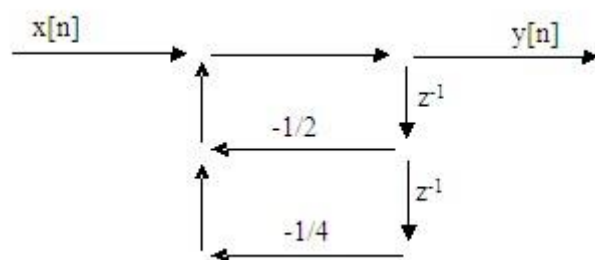
求一能从  $y[n]$  恢复  $x[n]$  的可实现的系统函数, 并给出直接 II 型的实现结构图。

解:  $y[n] = x[n] + \frac{1}{2}x[n-1] + \frac{1}{4}x[n-2]$

$$Y(z) = X(z) + \frac{1}{2}z^{-1}X(z) + \frac{1}{4}z^{-2}X(z) = (1 + \frac{1}{2}z^{-1} + \frac{1}{4}z^{-2})X(z)$$

$$\text{所以 } H(z) = \frac{Y(z)}{X(z)} = \frac{1}{1 + \frac{1}{2}z^{-1} + \frac{1}{4}z^{-2}} = \frac{1}{(1 + \frac{1+\sqrt{3}j}{4}z^{-1})(1 + \frac{1-\sqrt{3}j}{4}z^{-1})}$$

$H(z)$  的极点在单位圆内, 所以系统稳定, 即此系统是可实现。



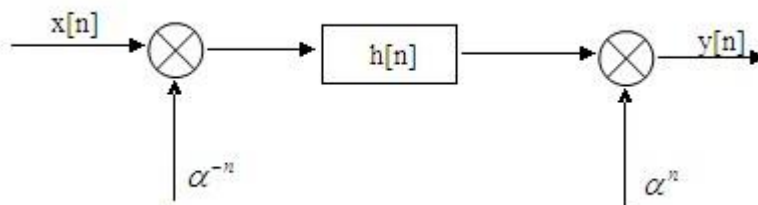
8. 一离散 LTI 系统, 它的输入  $x[n]$  和输出  $y[n]$  满足如下差分方程:

$$y[n-1] - \frac{5}{2}y[n] + y[n+1] = x[n]$$

该系统是否稳定, 是否因果没有限制。试求系统单位冲激响应的可能选择方案。并指出每种方案对应的系统稳定性和因果性。

9. 一如下差分方程描述的 LTI 系统  $y[n] - \frac{5}{2}y[n-1] + y[n-2] = x[n] - x[n-1]$ , 求该系统单位冲激响应  $h[0]$  的所有可能值。

10. 一离散时间系统如图所示



其中  $h[n]$  所代表的系统为 LTI 系统,  $H(z)$  的收敛域形式为  $0 < r_{\min} < |z| < r_{\max} < \infty$

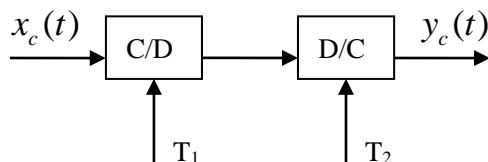
(1) 给出使  $h[n]$  所代表的系统 BIBO 稳定的  $r_{\min}$ ,  $r_{\max}$  限制条件;

(2) 整个系统是 LTI 的吗? 若是, 给出其单位冲激响应  $g(n)$ ; 若不是, 为什么?



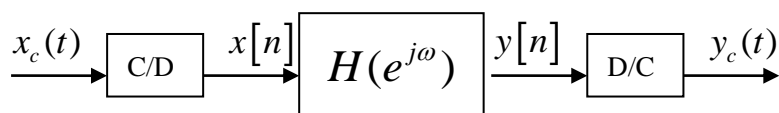
(3) 整个系统可以是 BIBO 稳定的么？若是，给出其限制条件；若不是，为什么？

下图中，当  $\Omega \geq \frac{\pi}{T}$  时， $X_c(j\Omega) = 0$ 。对于一般情况下， $T_1 = T_2$ ，且  $T_1 < T$ 。



试用  $x_c(t)$  来表示  $y_c(t)$ 。

下图表示一利用离散时间系统处理连续信号的整个系统，其中离散时间是一个理想低通滤波器，截止频率为  $\frac{\pi}{8} \text{ rad/s}$ 。

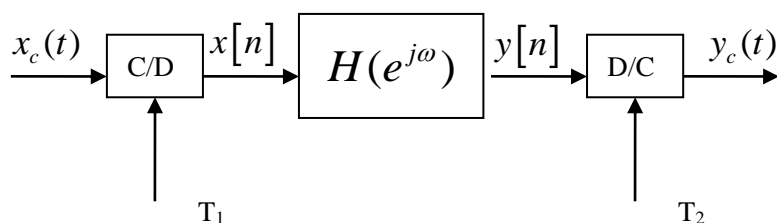


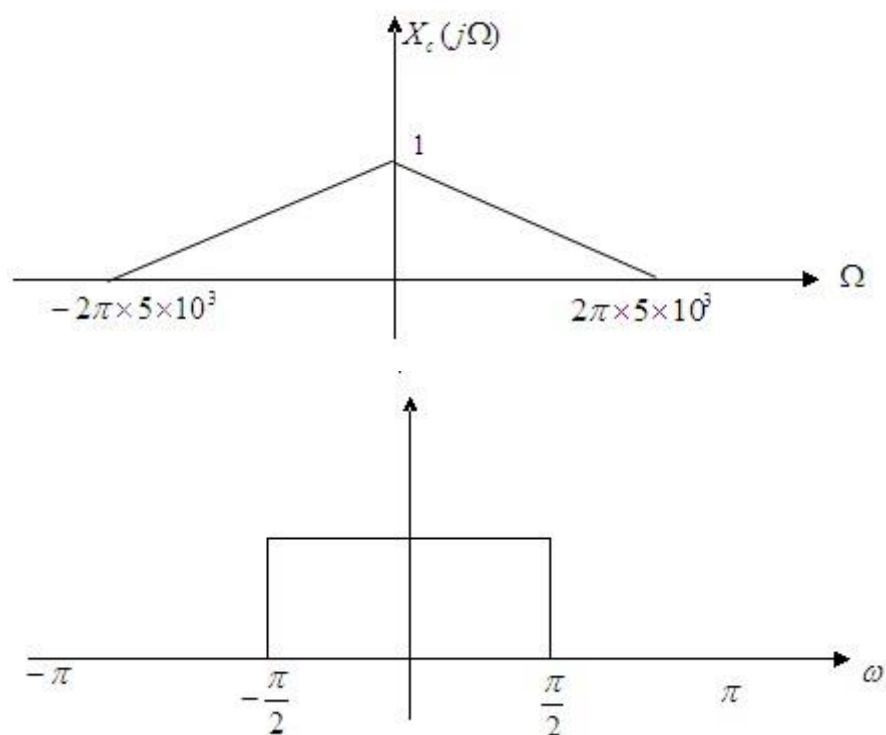
(1) 若  $x(t)$  带限到 5kHz，为了避免在 C/D 变换器中发生混叠，最大采样周期  $T$  选多少？

(2) 若  $\frac{1}{T} = 10 \text{ kHz}$ ，等效连续时间系统的截止频率是多少？

下图系统中  $X_c(j\Omega)$  和  $H(e^{j\omega})$  如图所示，对下列两种情况，分别画出  $X(e^{j\omega})$ ， $Y(e^{j\omega})$ ， $Y_c(j\Omega)$

(1)  $\frac{1}{T_1} = 2 \times 10^4$ ， $\frac{1}{T_2} = 10^4$  (2)  $\frac{1}{T_1} = 10^4$ ， $\frac{1}{T_2} = 2 \times 10^4$





一具有实冲激响应的 3 阶 FIR 滤波器（单位冲激响应长度为 4）的频率响应为  $H(e^{j\omega})$ ，已知  $H(e^{j0}) = 2$ ， $H(e^{j\frac{\pi}{2}}) = 7 - j3$  和  $H(e^{j\pi}) = 0$ ，试确定  $H(z)$ 。

## 线性相位系统

某时刻宽为  $M+1$  的 FIR 系统的单位冲激响应具有如下特性： $h[n] = h[M-n]$ ， $0 \leq n \leq M$ ，（ $M$  为偶数）

（1）画出其直接的实现结构；

（2）试证该系统的频率响应为  $H(e^{j\omega}) = e^{-j\omega M/2} \left( \sum_{k=0}^{M/2} a[k] \cos \omega k \right)$ 。

其中  $a[0] = h[M/2]$ ， $a[k] = 2h[(M/2) - k]$ ， $k = 1, 2, \dots, M/2$

## 滤波器设计:

1. FIR 滤波器设计的频率抽样方法是: 给定理想滤波器的频谱特性  $H(e^{j\omega})$ , 对其抽样可得

$$H[k] = H(e^{j\omega}) \Big|_{\omega = \frac{2k\pi}{N}}, \quad k = 0, 1, \dots, N-1. \text{ 对 } H[k] \text{ 做 IDFT 得到 } h(n) \text{ 作为 FIR 滤波器的}$$

单位冲激响应。

(1) 试求该 FIR 滤波器的系统函数  $H(z)$ ;

(2) 试画出该滤波器的实现结构图。(参数可以用复数)

$$2. \text{ 一离散时间系统的系统函数为: } H(z) = \frac{2}{1 - e^{-0.2} z^{-1}} - \frac{1}{1 - e^{-0.4} z^{-1}}$$

(1) 假设是由冲激响应不变法取  $T_d = 2$  设计得到, 试求设计可能的参考模拟滤波器的系统函数  $H_c(s)$ 。

(2) 假设是由双线性变换法取  $T_d = 2$  设计得到, 试求设计可能的参考模拟滤波器的系统函数  $H_c(s)$ 。

$$\text{解: } H(z) = \frac{2}{1 - e^{-0.2} z^{-1}} - \frac{1}{1 - e^{-0.4} z^{-1}} = 2 \left( \frac{1}{1 - e^{-0.2} z^{-1}} - \frac{0.5}{1 - e^{-0.4} z^{-1}} \right)$$

(1) 冲激响应不变法:  $|z| > e^{-0.2}$

$$h[n] = 2 \left[ e^{-0.2n} u[n] - \frac{1}{2} e^{-0.4n} u[n] \right] = 2 \left[ e^{-0.1 \times 2n} - \frac{1}{2} e^{-0.2 \times 2n} \right] u[2n]$$

$$\text{所以 } h_a(nT_d) = \left[ e^{-0.1 \times nT_d} - \frac{1}{2} e^{-0.2 \times nT_d} \right] u(nT_d)$$

$$\text{所以 } h_a(t) = \left[ e^{-0.1t} - \frac{1}{2} e^{-0.2t} \right] u(t)$$

$$\text{所以: } H_a(s) = \frac{1}{s+1} - \frac{0.5}{s+0.2}, \quad h(n) = T_d h_c(nT_d)$$

$$\text{或 } H_a(s) = \frac{2}{s+1} - \frac{1}{s+0.2}, \quad h(n) = h_c(nT_d)$$

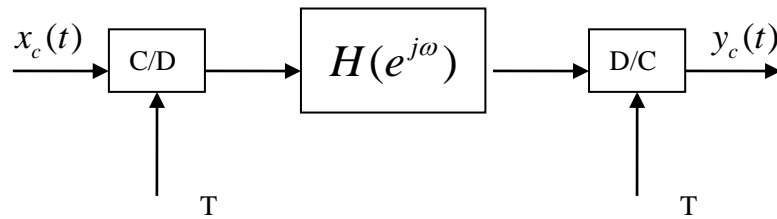
$$(2) \text{ 双线性变换法: } H(z) = H_a(s) \Big|_{s=c \frac{1-z}{1+z}}$$

$$\text{因为 } c=1, \text{ 所以 } H(z) = H_a(s) \Big|_{s=\frac{1-z}{1+z}}$$

$$\text{所以 } H_a(s) = H(z) \Big|_{z=\frac{1+s}{1-s}} = \frac{2}{1-e^{-0.2}\frac{1+s}{1-s}} - \frac{1}{1-e^{-0.4}\frac{1+s}{1-s}}$$

$$= \frac{2(1+s)}{(1-e^{-0.2})+(1+e^{-0.2})s} - \frac{2(1+s)}{(1-e^{-0.4})+(1+e^{-0.4})s}$$

3.对如下系统



$H(e^{j\omega})$  要求为一个 I 类广义线性相位数字低通滤波器，性能指标为：  $\omega_p = 0.3\pi$  ,  
 $\omega_s = 0.4\pi$  , 通带误差  $\delta_1 = 0.0001$  , 阻带误差  $\delta_2 = 0.0005$  , 用 Kaiser 窗法设计滤波器。

- (1) 写出使用 Kaiser 窗法设计的理想单位冲击响应  $h_d[n]$  及所设计的该滤波器的  $h[n]$ 。
- (2) 该滤波器的群延迟是多少？
- (3) 若图中系统采样周期是  $T = 1\text{ms}$  , 试给出该系统等效模拟滤波器的实际性能指标。
- (4) 输入分别为  $\cos(100\pi t)$  ,  $\cos(200\pi t)$  ,  $\cos(400\pi t)$  ,  $\cos(800\pi t)$  ,  $\cos(1000\pi t)$  ,

哪些信号可以通过该等效模拟滤波器？哪些会被滤掉？哪些会处在过渡带内？

注：Kaiser 窗

$$w[n] = \begin{cases} \frac{I_0\left[\beta\left(1-\left[(n-\alpha)/\alpha\right]^2\right)^{1/2}\right]}{I_0(\beta)}, & 0 \leq n \leq M \\ 0, & \text{otherwise} \end{cases}$$

式中，  $I_0(\cdot)$  为零阶修正 Bessel 函数，  $\alpha = \frac{M}{2}$  ,

$$A = -20\log_{10} \delta$$

$$\beta = \begin{cases} 0.1102(A-8.7), & A > 50 \\ 0.5842(A-21)^{0.4} + 0.07886(A-21), & 21 \leq A \leq 50 \\ 0.0, & A < 21 \end{cases}$$

$$M = \frac{A-8}{2.285\Delta\omega}$$

## DFT 与 FFT

1. 一个稳定的线性时不变系统可用下面的差分方程描述：

$$y[n] = \sum_{k=1}^p a_k y[n-k] + \sum_{k=0}^r b_k x[n-k]$$

试指出如何用  $N$  点 DFT 和简单的算术运算来确定系统频率响应  $H(e^{j\omega})$  在单位圆的均分点上的（即  $\omega_k = \frac{2\pi k}{N}$ ,  $k=0,1,\dots,N-1$ ）的  $N$  个取样。（假定  $p, r < N$ ）

2. 对  $N$  点序列  $x[n]$  作  $N$  点 DFT,  $X[k] = \text{DFT}\{x[n]\}$ 。对于每一个  $k$ ,  $X[k]$  可以看成  $x[n]$  通过一单位冲激响应  $h_k[n]$  的 FIR 滤波器在  $N$  时刻的输出。

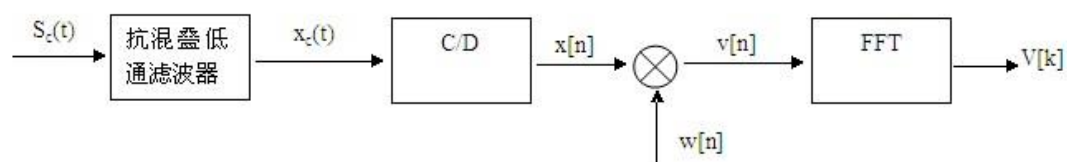
(1) 试问  $h_k[n] = ?$

(2) 试问该滤波器的频率响应  $H_k(e^{j\omega}) = ?$

(3) 当  $k=0$  时, 该滤波器是高通、带通还是低通?

3. 已知一长度为 627 的有限长复序列  $x[n]$ （即  $n < 0$  和  $n > 626$  时,  $x[n] = 0$ ）且有一计算  $N = 2^r$  的序列之 DFT 的 FFT 程序可以使用。我们想计算  $X(e^{j\omega})$  在  $\omega_k = \frac{2\pi}{627} + \frac{2\pi}{256}k$ ,  $k=0,1,\dots,255$  的值, 说明如何由  $x[n]$  得出一个新序列  $y[n]$ , 使得可以将所提供的 FFT 程序用于  $y[n]$ , 在  $r$  尽可能小的情况下得到  $X(e^{j\omega})$ 。

4. 用一基-2 FFT 处理器来估算信号最高频率  $\leq 1.25\text{kHz}$  实模拟信号的频谱的基本过程如下图所示：



其中  $w[n]$  是窗函数, 我们要求频率分辨率  $\leq 5\text{Hz}$ , 分别对于矩形窗、Hamming 窗和 Blackman 窗的情况确定：

(1) 理想抗混叠滤波器的频率特性  $H_{aa}(j\Omega) = ?$

(2) 采样频率  $f_s = ?$

(3) 采样点数  $N = ?$

(注: 矩形窗、Hamming 窗和 Blackman 窗的主瓣分别是  $\frac{4\pi}{N}$ ,  $\frac{8\pi}{N}$  和  $\frac{12\pi}{N}$ )

5. 以  $T = 0.01s$  对  $x_c(t) = A \cos(\Omega_0 t)$  采样, 采样满足采样定理, 得到  $x[n] = x_c(nT)$ ,

$n = 0, 1, \dots, 63$ 。对其作 64 点 DFT, 有  $|X(3)| = |X(61)| = 5$ , 其它  $|X(k)| = 0$ 。

试确定  $A$  和  $\Omega_0$ 。

解: 根据  $\Omega$  和  $k$  的关系,  $\omega = \Omega T = \frac{2\pi}{N} k \Rightarrow \Omega = \frac{2\pi k}{NT}$

因为 DFT 的中点对称性, 对于 64 点的 DFT, 仅仅前 32 点就能反映出整个信号的特征, 所以根据已知条件可得:

$$\Omega = \frac{2\pi k}{NT} = \frac{2\pi \cdot 3}{64 \cdot 0.01} = \frac{75\pi}{8} \quad (9.375\pi, 29.452 \text{ 也正确})$$

根据 DFT 公式,  $X(k) = \sum_{n=0}^{N-1} x[n] W_N^{nk}$

$$X(3) = \sum_{n=0}^{63} x[n] W_{64}^{3n} = \sum_{n=0}^{63} A \cos(\Omega n T) e^{-j2\pi \cdot 3n/64}$$

$$= \frac{A}{2} \sum_{n=0}^{63} (e^{j\Omega n T} + e^{-j\Omega n T}) e^{-j6\pi n/64}$$

$$= \frac{A}{2} \sum_{n=0}^{63} (1 + e^{-j3\pi/16})$$

$$= \frac{A}{2} \cdot 64 = 5$$

$$(\Omega n T = \frac{75\pi}{8 \cdot 100} = \frac{3\pi n}{32}, \quad \frac{2\pi \cdot 3n}{64} = \frac{3\pi n}{32})$$

$$\text{所以有: } A = \frac{5}{32}$$

$$\text{所以 } A = \frac{5}{32}, \quad \Omega = \frac{75\pi}{8} \quad x(t) = \frac{5}{32} \cos\left(\frac{75\pi}{8} t\right)$$

6. 一时间连续的实信号  $x_c(t)$  带宽限制在 5kHz 以下 (即对于  $|\Omega| > 2\pi(5000)$ ,  $X_c(j\Omega) = 0$ )

以每秒 10000 个样本的采样率对信号  $x_c(t)$  进行采样, 得到一序列  $x[n] = x_c(nT)$ , 当

$N=1024$  个样本  $x[n]$  时可以用基-2 FFT 来计算 1024 点 DFT  $X[k]$ 。

(1) 在  $X[k]$  中,  $k=150$  与什么连续频率相对应?

(2) 在  $X[k]$  中,  $k=800$  与什么连续频率相对应?

(3) 在基-2 FFT 运算中, 蝶形运算总数目是多少?

### 证明题

1. 证明: 若  $x_1[n]$ ,  $x_2[n]$  是因果稳定的实序列, 则有:

$$\int_{-\pi}^{\pi} X_1(e^{j\omega}) X_2(e^{j\omega}) d\omega = \frac{1}{2\pi} \int_{-\pi}^{\pi} X_1(e^{j\omega}) d\omega \int_{-\pi}^{\pi} X_2(e^{j\omega}) d\omega$$

证: 设  $X(e^{j\omega}) = X_1(e^{j\omega}) X_2(e^{j\omega})$ ,  $x[n] = \mathcal{F}^{-1}\{X(e^{j\omega})\}$

$$x_1[n] = \mathcal{F}^{-1}\{X_1(e^{j\omega})\}, \quad x_2[n] = \mathcal{F}^{-1}\{X_2(e^{j\omega})\}$$

$$\therefore x[n] = x_1[n] * x_2[n] = \sum_{m=-\infty}^{\infty} x_1[m] x_2[n-m]$$

因为  $x_1[n]$ ,  $x_2[n]$  是因果稳定的实序列

$$\text{所以 } n < 0, x_1[n] = x_2[n] = 0$$

$$\text{所以 } x[n] = \sum_{m=0}^n x_1[m] x_2[n-m]$$

$$x[0] = x_1[0] x_2[0]$$

$$\text{又因为 } n < 0, x_2[n] = 0$$

$$\text{所以 } x[0] = x_1[0] x_2[0]$$

$$\text{又因为 } x[0] = \frac{1}{2\pi} \int_{-\pi}^{\pi} X(e^{j\omega}) d\omega$$

$$\text{所以 } \int_{-\pi}^{\pi} X(e^{j\omega}) X_2(e^{j\omega}) d\omega = \int_{-\pi}^{\pi} X(e^{j\omega}) d\omega = 2\pi x[0]$$

$$\text{而 } x_1[0] = \frac{1}{2\pi} \int_{-\pi}^{\pi} X_1(e^{j\omega}) d\omega, \quad x_2[0] = \frac{1}{2\pi} \int_{-\pi}^{\pi} X_2(e^{j\omega}) d\omega$$

$$\text{所以 } 2\pi x[0] = 2\pi x_1[n] x_2[n] = \frac{1}{2\pi} \int_{-\pi}^{\pi} X_1(e^{j\omega}) d\omega \int_{-\pi}^{\pi} X_2(e^{j\omega}) d\omega$$

2. 设  $y[n] = x_1[n] * x_2[n] * x_3[n]$ , 证明:  $\sum_{n=-\infty}^{\infty} y[n] = \left( \sum_{n=-\infty}^{\infty} x_1[n] \right) \left( \sum_{n=-\infty}^{\infty} x_2[n] \right) \left( \sum_{n=-\infty}^{\infty} x_3[n] \right)$ 。

3.试推导时域抽取基-2 FFT 算法，并画出 8 点的 FFT 计算流图。

解：

$$\begin{aligned}
 X(k) &= \sum_{n=0}^{N-1} x[n] W_N^{nk} \\
 &= \sum_{r=0}^{N/2-1} x[2r] W_N^{2rk} + \sum_{r=0}^{N/2-1} x[2r+1] W_N^{(2r+1)k} \\
 &= \sum_{r=0}^{N/2-1} x[2r] (W_N^2)^{rk} + W_N^k \sum_{r=0}^{N/2-1} x[2r+1] (W_N^2)^{rk} \\
 &= \sum_{r=0}^{N/2-1} x[2r] W_{N/2}^{rk} + W_N^k \sum_{r=0}^{N/2-1} x[2r+1] W_{N/2}^{rk} \\
 &= G[k] + W_N^k H[k]
 \end{aligned}$$

$$\text{其中} \begin{cases} G[k] = \sum_{r=0}^{N/2-1} x[2r] W_{N/2}^{rk} \\ H[k] = \sum_{r=0}^{N/2-1} x[2r+1] W_{N/2}^{rk} \end{cases}$$

$G[k]$  和  $H[k]$  分别是  $x[2r]$  和  $x[2r+1]$  的  $\frac{N}{2}$  点的 DFT，周期为  $\frac{N}{2}$ 。

$$\text{所以：} G\left[\frac{N}{2} + k\right] = G[k], \quad H\left[\frac{N}{2} + k\right] = H[k]$$

$$\text{又因为：} W_N^{(N/2+k)} = e^{-j\frac{2\pi}{N}\left(\frac{N}{2}+k\right)} = -W_N^k$$

$$X\left[k + \frac{N}{2}\right] = G\left[k + \frac{N}{2}\right] + W_N^{k+\frac{N}{2}} H\left[k + \frac{N}{2}\right] = G[k] - W_N^k H[k]$$

$$\text{所以} \begin{cases} X[k] = G[k] + W_N^k H[k] \\ X\left[k + \frac{N}{2}\right] = G\left[k + \frac{N}{2}\right] - W_N^k H\left[k + \frac{N}{2}\right], \quad k = 0, 1, \dots, \frac{N}{2} - 1 \end{cases}$$

8 点的 FFT 计算流图见教材